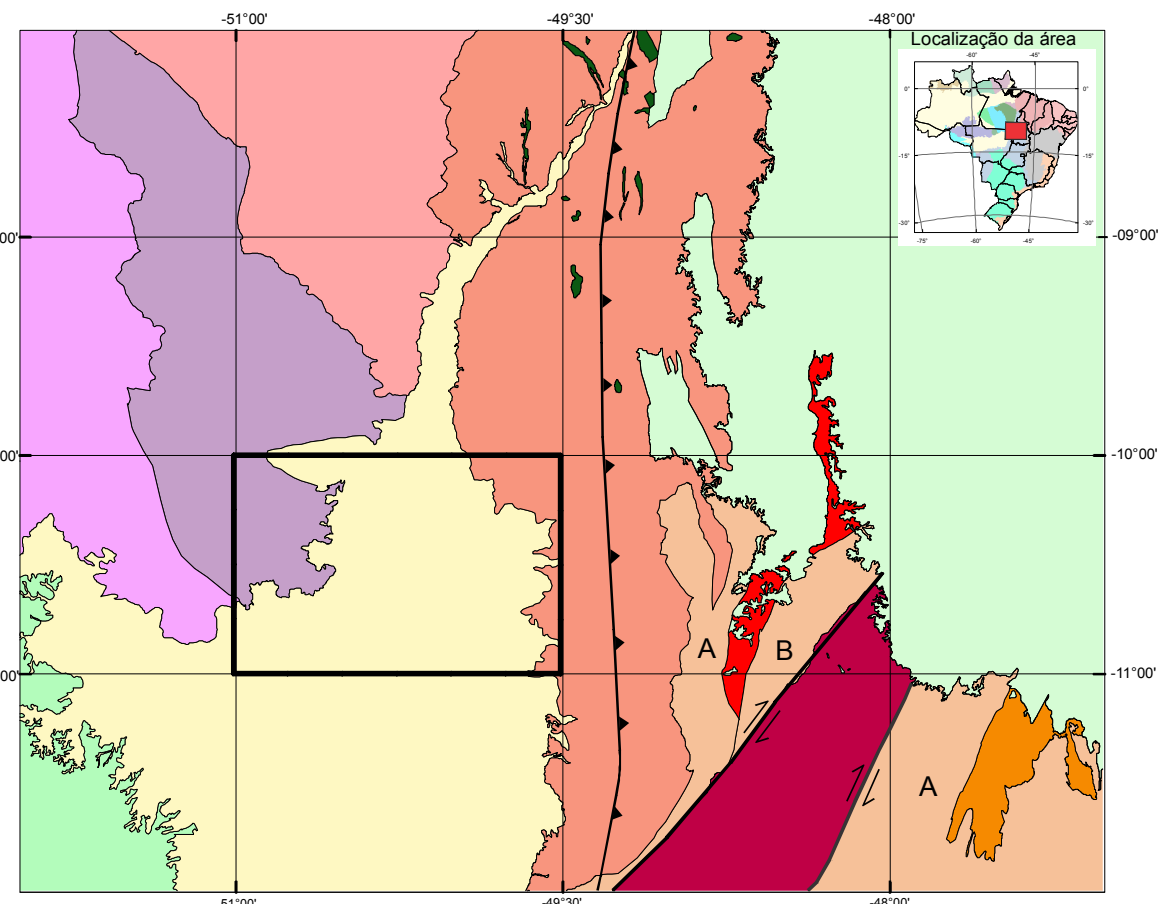
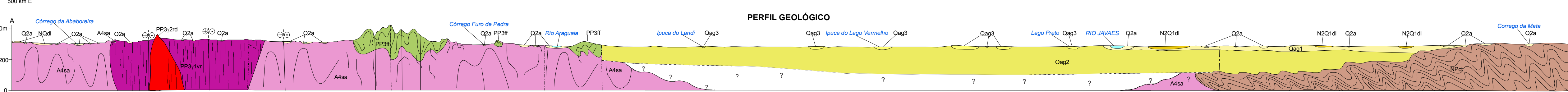
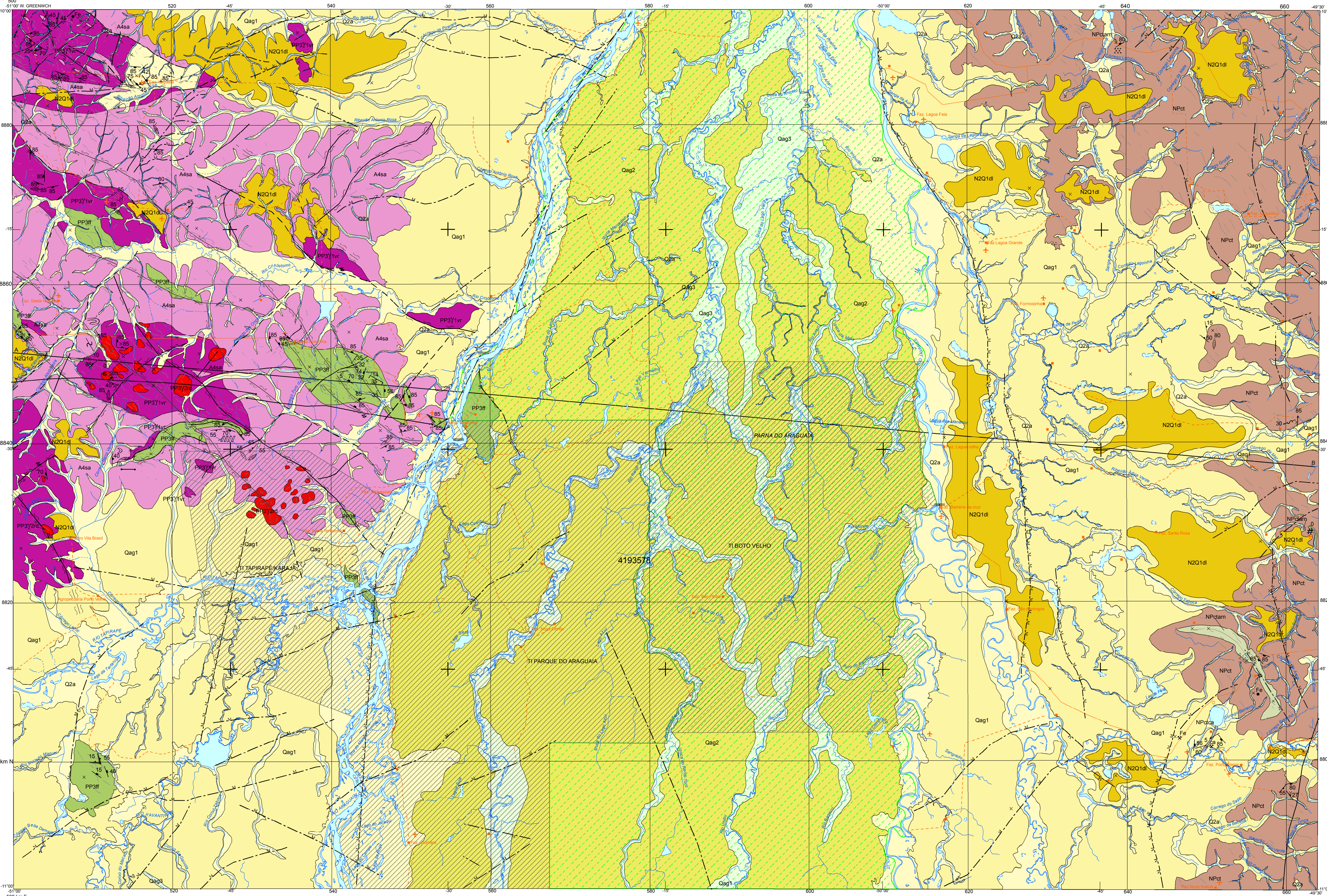


ENCARTE TECTÔNICO



- BACIAS INTRACRÔNICAS FANEROZOICAS**
  - Bacia do Bananal - Bacia Intracrustal
  - Bacia dos Parecis - Bacia Intracrustal
  - Bacia do Parnaíba - Bacia Intracrustal
- EMBASAMENTOS DAS FANEROZOICAS**
  - Bacias de Rifte Intracrustal e Vulcanismo Bimodal associado, Magmatismo Anorogênico Paleo-Mesoproterozoico
  - Remanescentes de Embasamento Arqueano-Paleoproterozoico (A) Terreno Cristalino-Brasiliano e Arcos accionários-órfãos, (B) Cinturão Granulítico - Lásica Tectônica Intracrustal
- PROVÍNCIA TOCANTINS**
  - FAIXAS MÓVILES NEOPROTEROZOICAS**
    - Dominio Irituçu: Rifte intracrustal Sideriano-Riariano, Magmatismo intracrustal pós-colisional e anorogênico, Tectogênese Orosiana-Esteleriana
    - Magmatismo Pós-colisional e Anorogênico associado a Adalgação Crustal
  - Bacias de Margem Passiva envolvidas em Progressão Colapsal
  - Unidade Ofiolítica Criogetânica intercalada com Lásicas Tectônicas de Supracrustais
  - Arcos Magmáticos de Goiás: Arcos Insulares Neoproterozoicos de Margem Nova, Bacias de Arcos Tonoano-Educaciano
- CRÁTON AMAZÔNICO**
  - Dominio Irituçu: Rifte intracrustal Sideriano-Riariano, Magmatismo intracrustal pós-colisional e anorogênico, Tectogênese Orosiana-Esteleriana
  - Dominio Santana de Araguaia: Fragmentos crustais Neoproterozoicos reabastados no Paleoproterozoico, Orogênios e Bacias Plutônicas Pré e Pós-orogênicas, Magmatismo Feltico Intracrustal Orosiano
  - Dominio Rio Maria: Associações de Termos Granito-Granulítico Mesoproterozoico, Bacia Tectogênica Sideriano/Riariano e Magmatismo Feltico Intracrustal Orosiano
- Falha transcorrente dextral
- Falha transcorrente sinistral

FOLHA SC.22-Z-A SANTA TERESINHA



**RELAÇÕES TECTONO-ESTRATIGRÁFICAS**

ERA	PERÍODO	IDADE (Ma)	RELAÇÕES TECTONO-ESTRATIGRÁFICAS
FANEROZOICO	CENOZOICO	NEOGENO QUATERNÁRIO	<b>COBERTURAS SEDIMENTARES CENOZOICAS</b> <ul style="list-style-type: none"><li>Q2a Depósitos Aluvionares</li><li>Q2b Formação Araguaia</li><li>N2Q1d Coberturas detrito-lateríticas</li></ul>
			2,6
PROTEROZOICO	NEO PROTEROZOICO	CROGÊNICO	<b>OROGENIA BRASILEANA - CINTURÃO ARAGUAIA</b> <ul style="list-style-type: none"><li>Grupo Baixo Araguaia</li><li>NPct Formação Couto Magalhães</li></ul>
			635
PROTEROZOICO	PALEO PROTEROZOICO	CROGÊNICO	<b>CRÁTON AMAZÔNICO</b> <ul style="list-style-type: none"><li>Provincia Tapajós-Paraná</li><li>Magmatismo Pós-Colisional e Anorogênico</li><li>Suíte Intrusiva Rio Dourado</li><li>Suíte Intrusiva Rio Mourado</li><li>Magmatismo de Arco de Margem Continental</li><li>Suíte Intrusiva Vila Rica</li><li>Sequência Metavulcanosedimentar Paleoproterozoica</li><li>Sequência Fazenda Santa Fé</li></ul>
			850
ARQUEANO	NEO ARQUEANO	2000	<b>FANEROZOICO CENOZOICO</b> <ul style="list-style-type: none"><li>Q2a Depósitos Aluvionares: Constituem-se por sedimentos inconsolidados, predominantemente arenosos, com níveis de calcilitos e níveis de material silto-argiloso. Caracterizam-se por depósitos de acreção lateral de margem de canal e de carga de fundo, que incluem barras em pontal, barras de meio de canal e depósitos de carga de fundo.</li><li>Q2b Formação Araguaia: é representada por uma cobertura superficial incluindo três facies: 1) facies terraços avermelhados; 2) facies depósitos aluvionares; 3) facies silto-argilosas. Representam as áreas abandonadas oriundas da migração lateral dos rios ou afluentes geradas por eventos tectônicos. São sedimentos semiconsolidados, silto-argilosos e arenosos, com níveis lateritizados, com estratificação predominantemente plano-paralela.</li><li>N2Q1d Coberturas Detrito-Lateríticas: são constituídas predominantemente por sedimentos esquelto-arenosos de tonalidade avermelhada, ricos em concreções ferruginosas inconsolidadas. Laterais imaturos, quando em perfis completos e preservados, modelam grande parte do relevo atual.</li></ul>
			2500
ARQUEANO	NEO ARQUEANO	2800	<b>PROTEROZOICO NEOPROTEROZOICO</b> <ul style="list-style-type: none"><li>Formação Couto Magalhães: Metassiltitos, metargilitos e filitos, geralmente temperizados, de coloração verde-amarelada, com tons avermelhados, amarelados, estratificados e de granulção fina. Possuem aspecto sedoso e fissil, foliação marcante e penetrativa, preservando feições primárias plano-paralelas do tipo laminação planar. Exibem níveis decimétricos ricos em hematita. Essas facies constituída por metacalcário calcítico/ calcilítico de cor cinza claro a cinza escuro, com níveis brechados, estruturas biogênicas e fraturas preenchidas por cor cinza claro a cinza escura. Apresenta metamorfismo do fácies xisto verde baixo. Na região da Lagoa da Cordeiro ocorre uma mina de calcário sendo lavada e moída para correção de solo. Intercala também lentes de arenitos lúlicos (arn) de coloração variando de cinza a amarelo, localmente marrons devido a presença de óxido de ferro. São constituídas predominantemente por grãos médios de quartzo, bem selecionados, subarredondados, selados por matriz argílica calcilítica.</li></ul>
			2900
ARQUEANO	NEO ARQUEANO	3000	<b>PALEOPROTEROZOICO</b> <ul style="list-style-type: none"><li>Suíte Intrusiva Rio Dourado: Biotita-sienogranitos e monzogranitos, localmente porfíricos. As texturas variam de equigranular a porfírica, sendo normalmente isotrópicas. São ricas preferencialmente alcalinas por vezes, com texturas rapakivi, rosadas, com transição para tons de tonalidade clara. São consideradas como anorogênicas. Apresentam também hidrotermalismo potássico junto às suas encavidades. 1804 ± 4,6 Ma-Pb-Pb a 1876 ± 4,3 Ma-Pb-Pb.</li><li>Sequência Fazenda Santa Fé: Rochas supracrustais que ocorrem na forma de cristas orientadas segundo a direção NW-SE e E-W. São representadas por quartzitos impuros, biotita-muscovita-quartzo xistos, sericitita-quartzo xistos, muscovita xistos, metareolitos sericiticos e, em menor proporção, formações ferríferas bandadas e ardósias carbonosas. São rochas metasedimentares de baixo grau metamórfico. Zircois detriticos desta unidade datados pelo método U-Pb-LA neste projeto, indicaram idade máxima de sedimentação de 1942 Ma.</li><li>Suíte Intrusiva Vila Rica: Predominam monzogranitos e granodioritos e localmente dioritos. As rochas mostram intensidades variáveis de deformação, desde isotrópicas a framente bandadas. As deformações mais acentuadas relacionam-se a zona de cisalhamentos. A granulção é média a grossa, com texturas hipidimórfica e granolobulidística. Os granitóides são constituídos essencialmente por biotita + hornblenda + plagioclásio + microclínio + quartzo. Os acessórios são zircão, titanita, opacos e apatita. Ocorre alteração hidrotermal caracterizada por cloritização, formação de epitélio e muscovita. Apresentam ainda enclaves máficos, auditos e xenólitos, por vezes parcialmente assimilados. 1978 ± 3,8 Ma-U-Pb SHRIMP, 1958 ± 15 Ma - U-Pb SHRIMP.</li></ul>
			3200
ARQUEANO	NEO ARQUEANO	3800	<b>ARQUEANO</b> <ul style="list-style-type: none"><li>Complexo Santana de Araguaia: Constituído predominantemente por ortogênios de composição granodiorítica, ocorrendo subordinadamente campeonças graníticas e tonalíticas, e localmente granitos paradedivados, todos fortemente deformados e migmatizados, com leucossomas graníticos, porções metaxelíticas e diáxelíticas. Dobras desarmônicas, bandamento e foliação milonítica são estruturas marcantes. Apresentam texturas granulobulidísticas, protomilonítica a milonítica com feições agêni e granolobulidística. Contém bastante enclaves dioríticos centimétricos a decimétricos. 2820 ± 21 Ma - U-Pb</li></ul>
			4000

**JAZIMENTOS MINERAIS**

Localidade: ○  
Propriedade rural: ●  
Campo de pouso: ○  
Limite estadual: ---

Curso de água intermitente: ~~~~~  
Curso de água perene: ~~~~~  
Lagoa intermitente: [ ]  
Lagoa perene: [ ]

Messa d'água: [ ]  
Ilha: [ ]  
Área indígena: [ ]  
Área de parque: [ ]

Fratura: [ ]  
Fratura de cisalhamento R: [ ]  
Fratura de cisalhamento X: [ ]  
Fratura de cisalhamento Y: [ ]  
Fratura de cisalhamento V: [ ]  
Junta vertical: [ ]  
Lineação B: [ ]  
Lineação de estromento: [ ]  
Lineação de interação entre acamamento e divergência: [ ]  
Redobramento tipo bumerangue: [ ]  
Redobramento tipo laço (coaxial): [ ]  
Strocofólio ou Zona de Veios multiorientados: [ ]  
55 Veio: [ ]  
85 Veio de cisalhamento: [ ]  
5 Veio estensional: [ ]  
Foliação: [ ]  
Foliação milonítica: [ ]

55 Veio irregular: [ ]  
Zona estensional tipo pull apart: [ ]  
Falha interrompida pela geofolia: M-magnetometria [ ]  
Falha ou fratura: [ ]  
Falha ou fratura encoberta: [ ]  
Falha ou fratura aproximada: [ ]  
Falha ou zona de cisalhamento transpressional: [ ]  
Falha ou zona de cisalhamento agrometálico: [ ]  
Lineamentos estruturais: traços de superfície S [ ]  
Zona de cisalhamento indiscriminada: [ ]  
Zona de cisalhamento transcorrente dextral: [ ]  
Zona de cisalhamento transcorrente enocorante: [ ]  
Zona de cisalhamento transcorrente sinistral: [ ]

○ Ocorrência Mineral  
● Jazimentos Minerais: Fe - Ferro; Ca - Calcário

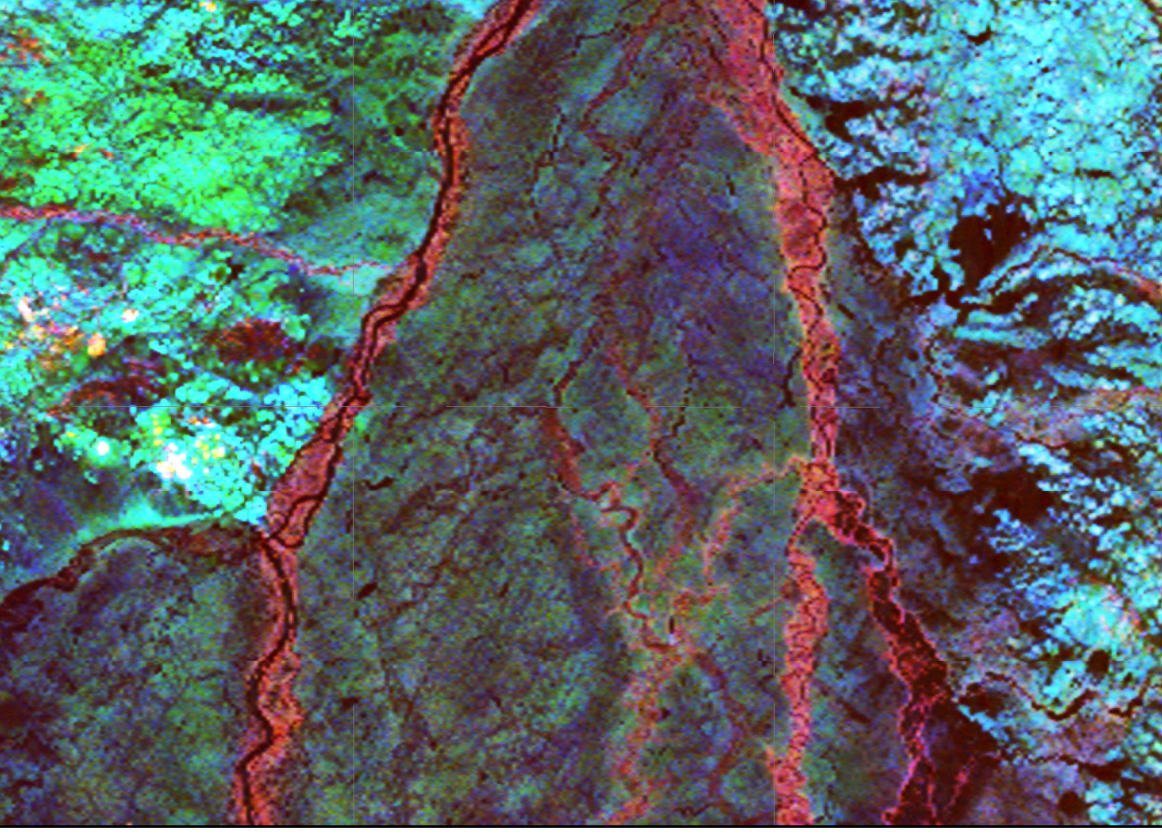
**CARTA GEOLÓGICA**  
ESCALA 1:250.000

PROJEÇÃO UNIVERSAL, TRANSVERSA DE MERCATOR  
Origem da quilométragem UTM: Equador e Meridiano Central - 57  
acessadas as constantes: 10.000.000 e 500km, respectivamente.

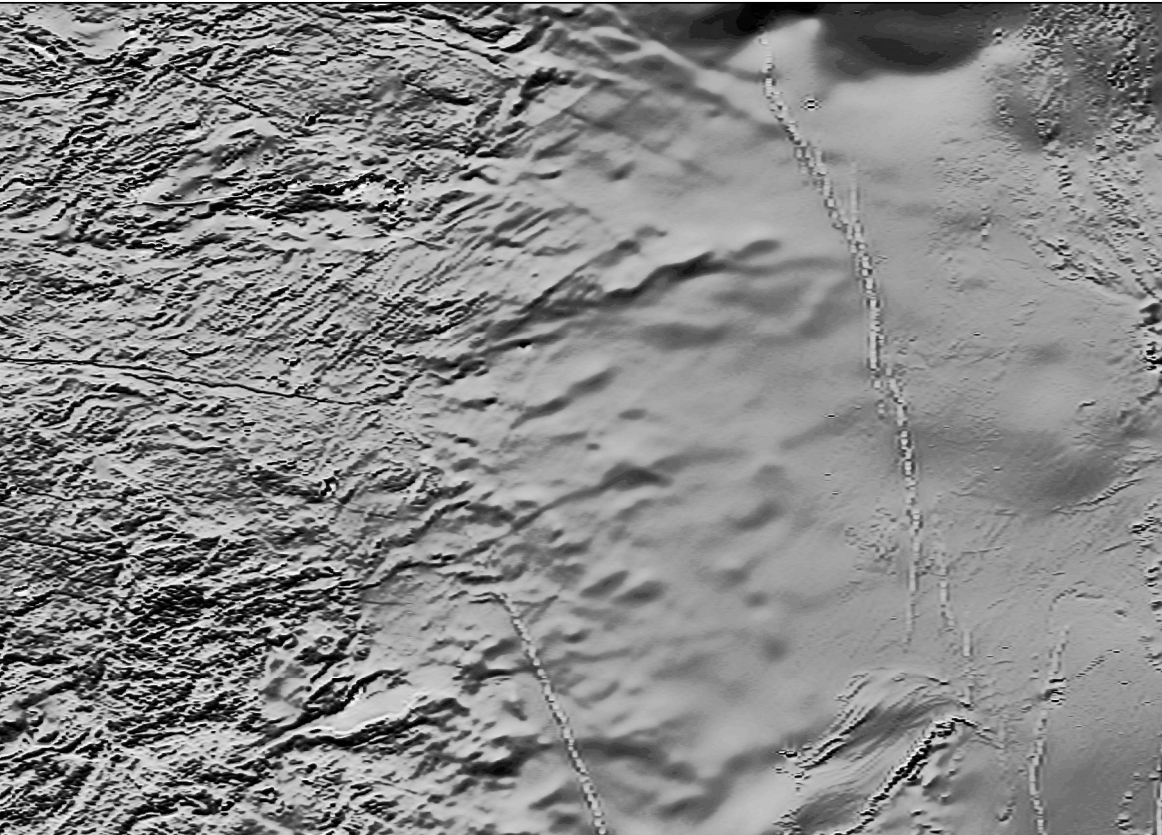
Datum horizontal: WGS84  
Declinação magnética do centro da folha: 16°37' W 1983  
decréscio 0'9" W/ano.

Fonte: Ministério do Exército - Departamento de Engenharia e Comunicações

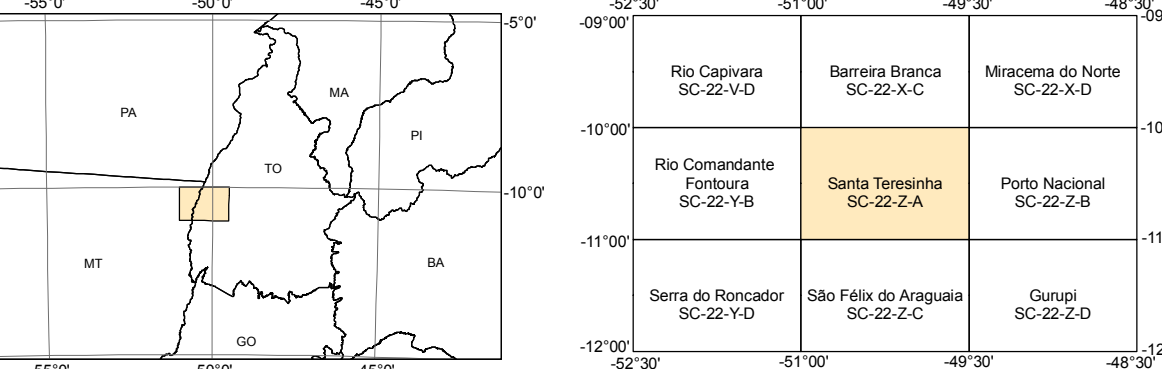
AEROGAMESPECTROMETRIA - TERNÁRIO - RGB (K-Th-U)



AEROMAGNETOMETRIA - PRIMEIRA DERIVADA VERTICAL



LOCALIZAÇÃO DA FOLHA



ARTICULAÇÃO DA FOLHA

Rio Capivara SC-22-V	Barreira Branca SC-22-X	Miracema do Norte SC-22-Y
Rio Comandante Fátima SC-22-YB	Santa Teresinha SC-22-ZA	Porto Nacional SC-22-ZB
Serra do Roncador SC-22-YD	São Félix de Araguaia SC-22-ZC	Cunipi SC-22-ZD

**EQUIPE TÉCNICA RESPONSÁVEL**  
Autores: José Luciano Stropper, Edison Gaspar Martins, Antônio Augusto Soares Frasca.  
Apoio Técnico: Flávio Fernandes Fábrio  
Geofísica: Marcos Flávio Nogueira Chelini e Marcelo Ferreira da Silva  
Geopirâmica: Pedro Ricardo Soares Briso, João Rocha de Assis, Lílian Vianna dos Santos e Lininho Mesquita  
Preparação de Amostras: Alberto Costa de Oliveira, Diego Castello Marquet e Wilson Roberto de Pinna  
Cartografia Digital: Cristiane de Lima Pereira, Valdivino Patrocínio da Silva e Luiz Carlos Melo.  
Secretaria: Nat. Das  
Biblioteca: Maria Gasparina de Lima e Gilmar Rego de Oliveira  
Coordenação Regional: Gerente: Gilmar José Rizzotto  
Coordenação do Projeto: Antônio Augusto Soares Frasca  
Coordenação/Supervisão Técnica Nacional:  
Chefe do DEGEOP: Edilson José dos Santos  
Chefe do DEGEO: Reginaldo Alves dos Santos